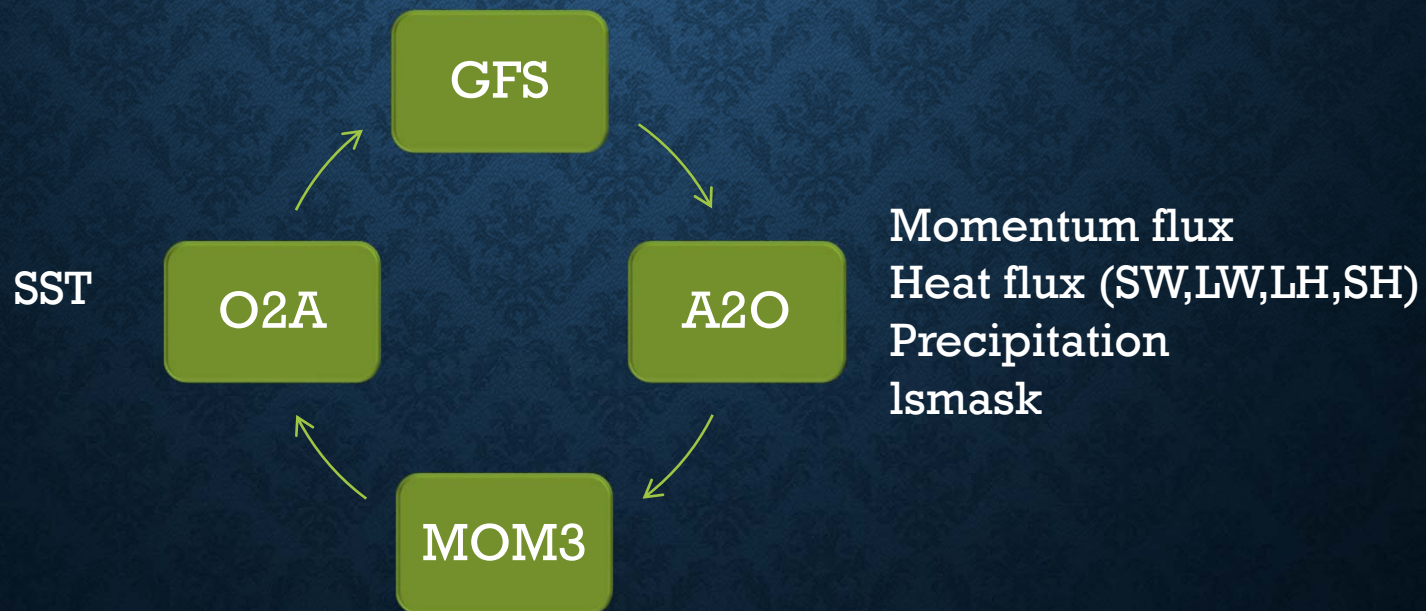


# 海水溫度氣候場對氣候系統模擬 之影響

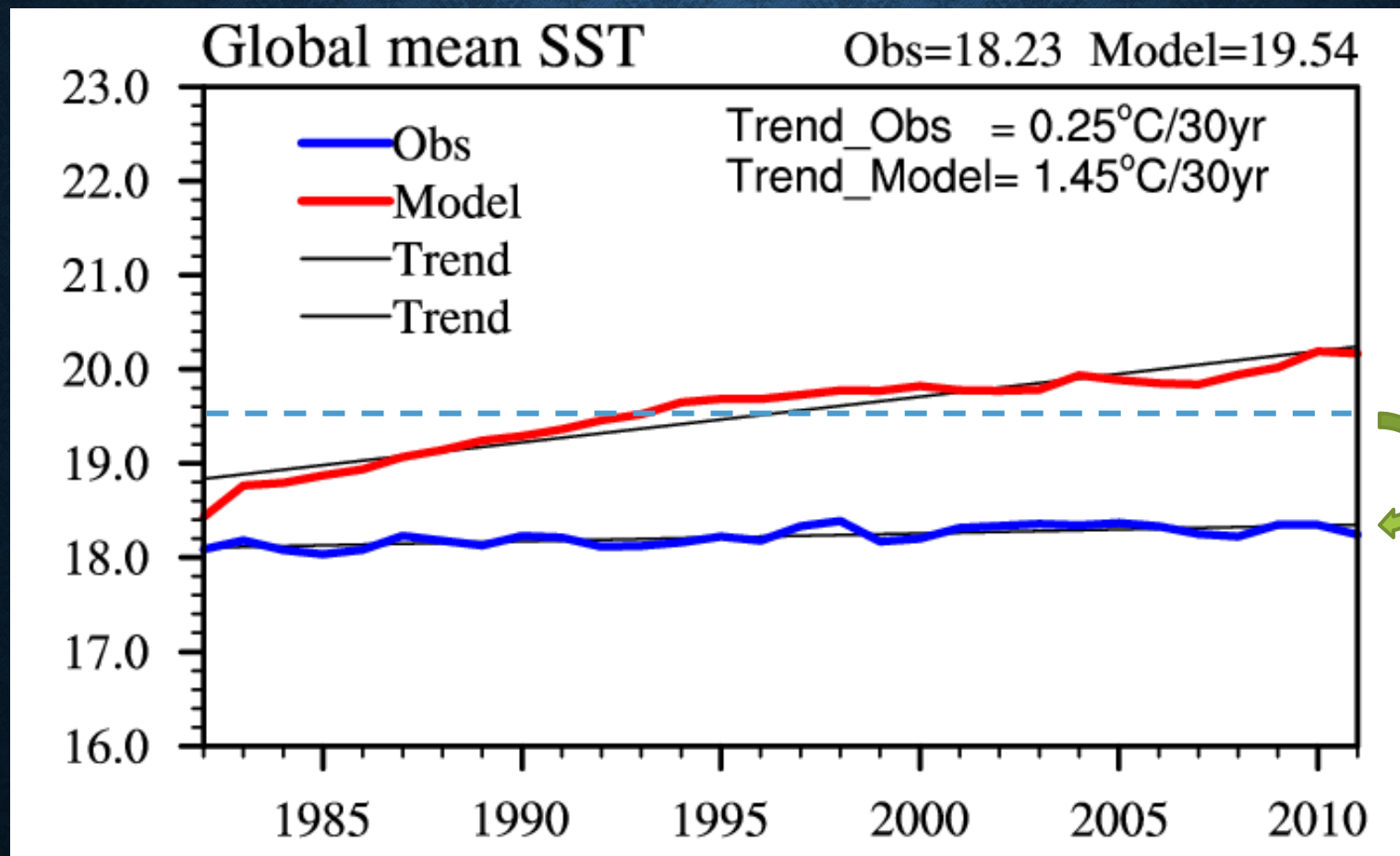
童雅卿 胡志文 吳子瑜  
中央氣象局

## CWB CFS 1-TIER COUPLED MODEL (CWB/CFS1T1)

- 大氣模式 : CWB GFS model  
(mks, T119L40, dt=600s, NSAS cumulus parameterization)
- 海洋模式 : GFDL MOM3 model  
( cgs, domain:0-360, 74S-64N, 0-4428m, dt=3600s)



## Motivation: Why should we consider the heat flux correction strategy?



**Li and Hogan (1999):** A *realistic simulation of both the seasonal cycle and the interannual variation may be achieved when a realistic annual-mean state is reproduced.*

$$\frac{\partial T_1}{\partial t} = -u_1 \frac{\partial T_1}{\partial x} - v_1 \frac{\partial T_1}{\partial y} - w_1 \frac{\partial T_1}{\partial z} + Q + A(i, j)$$

$$A(i, j) = -\alpha(T_1 - \bar{T}_{obs})$$

$$\alpha = 1/5 * 86400$$

version	Heat flux correction factors
Li and Hogan(1999)	SST, wind
CWB/CFS1T1	SST, momentum flux

## New Heat Flux Correction Method:

### Modify the annual mean of ocean temperature

$$\frac{\partial T_k}{\partial t} = -u_k \frac{\partial T_k}{\partial x} - v_k \frac{\partial T_k}{\partial y} - w_k \frac{\partial T_k}{\partial z} + Q + A(i, j, k)$$
$$A(i, j, k) = -\alpha(T_k - \bar{T}_k)$$
$$\alpha = 1/86400$$

其中  $k$  為垂直各層， $T$  為海水溫度， $\bar{T}_k$  為 30 年平均 GODAS 海水溫度之 annual cycle， $\alpha$  為 damping factor。 $u$ 、 $v$ 、 $w$  分別為東西、南北和垂直方向海流； $Q$  為熱力通量

step	processes		target
1	Coupled Model +ocean temperature correction term	30 year	Get annual mean ocean temperature correction by using damping factor 1/1day
2	Coupled model + ocean temperature annual mean correction term	30 year	

0-366m:  $w=1$  , 459m :  $w=0.8$  , 584m :  $w=0.6$  , 747m :  $w=0.4$  , 949m :  $w=0.2$  , Below:  $w=0$

## 實驗版本

<i>Control</i>	CWB/CFS1T1
<i>Exp</i>	CWB/CFS1T1 + heat flux correction
積分時間	30年 free run
診斷項目	climatology, ENSO, MJO

# OBS：校驗所使用的觀測資料

變數		資料來源
SST	海面溫度	OISSTv2 data
Precip	降水	GPCP precipitation data
T2m	2米溫度	CFSR data
Wind	風場	CFSR data
OT	海水溫度	GODAS data

# **CLIMATOLOGY**

(30 YEAR AVERAGED)

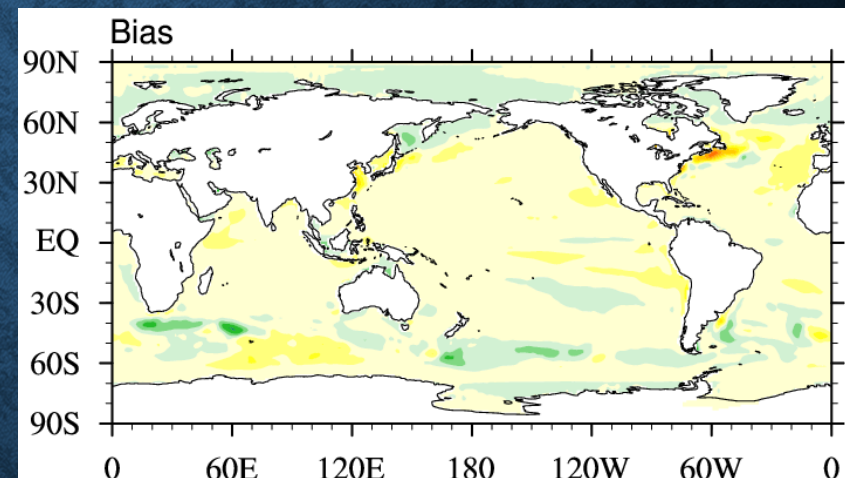
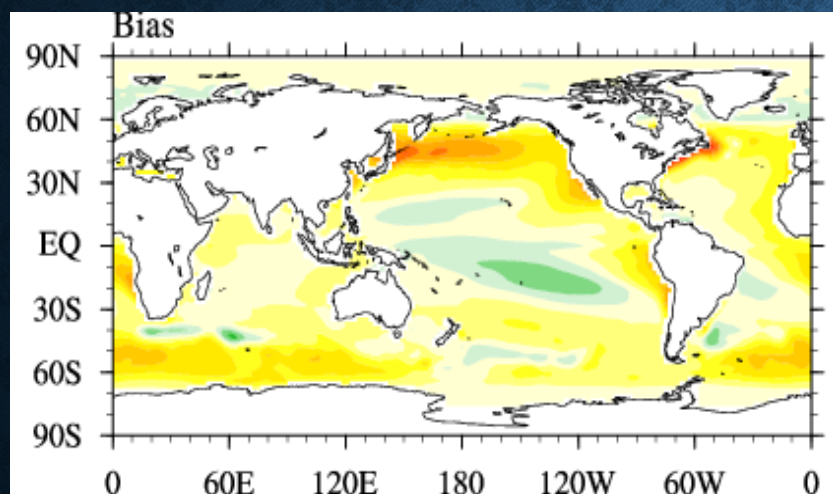
# SST Bias

Control

Exp

NRMSE=0.32

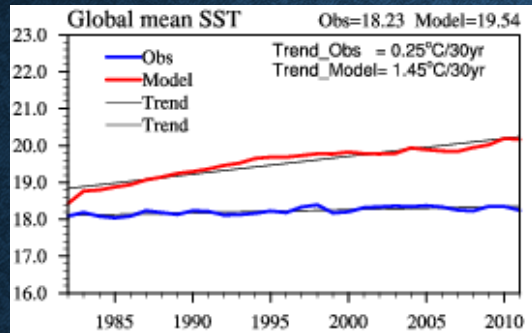
NRMSE=0.12



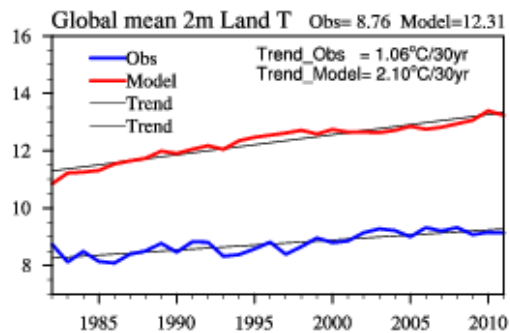
# The Trend of Global Mean Variables

Control

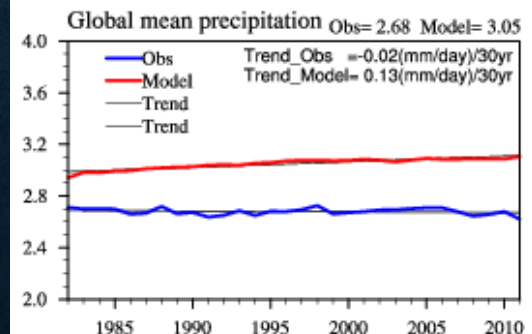
海面溫度



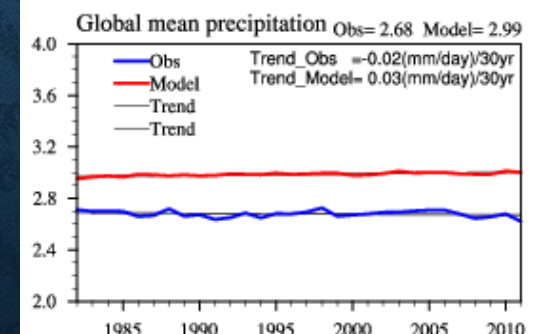
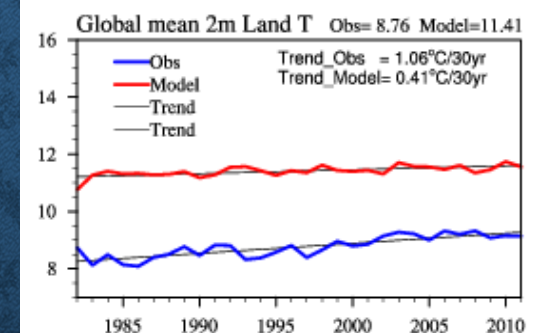
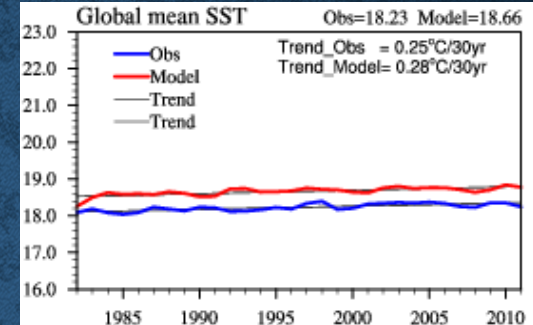
陸地2米溫度



降水

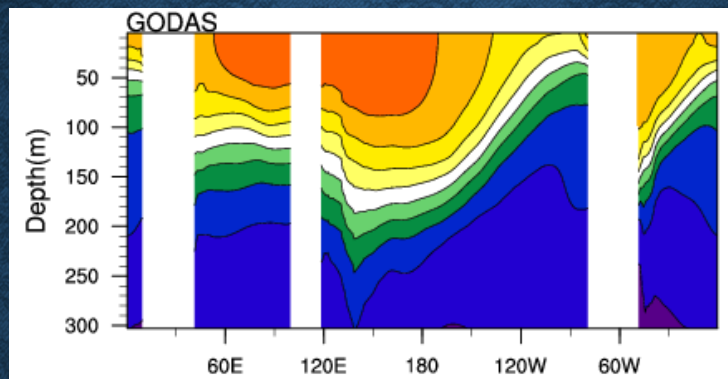


Exp

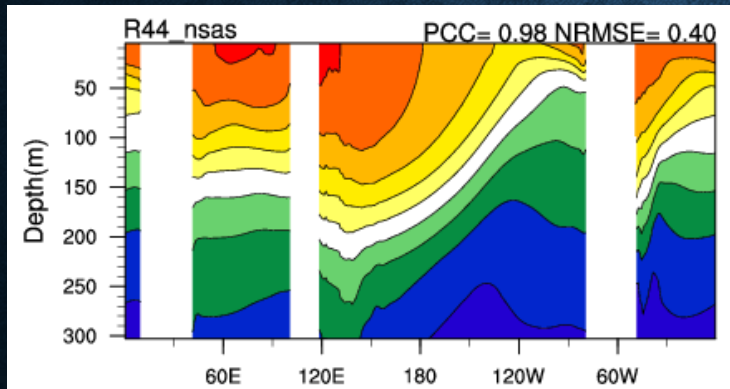


# Ocean Temperature averaged over (2S-2N)

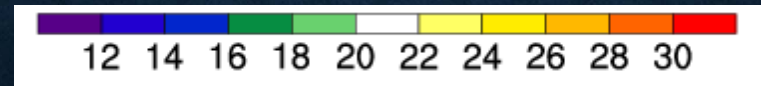
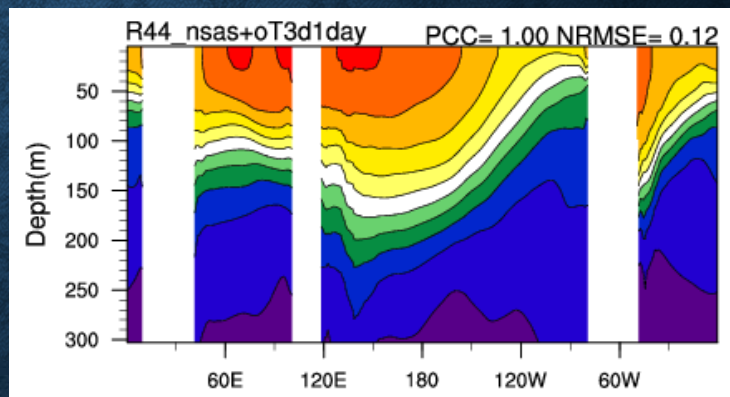
OBS



Control



Exp



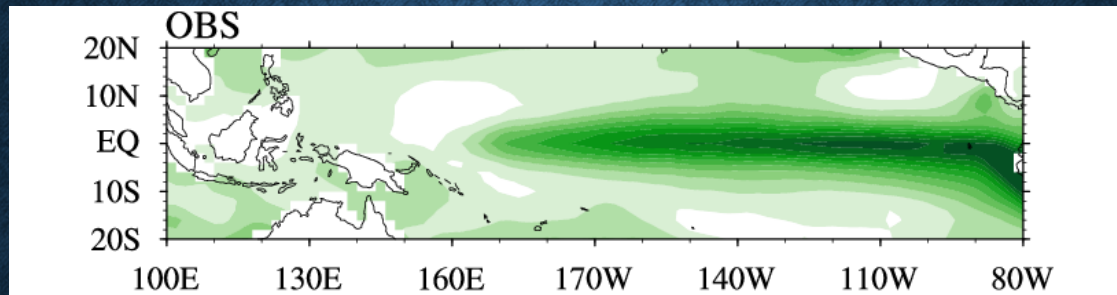
# *ENSO*

*(El Niño / Southern Oscillation)*

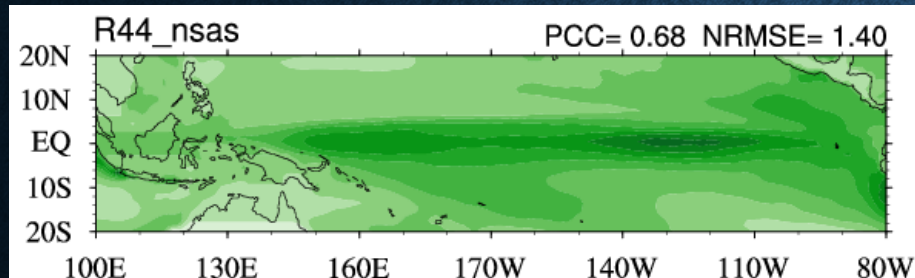
聖嬰現象(ENSO)為赤道東太平洋大範圍的海溫變化，  
透過大氣與海洋之交互作用影響全球氣候。

# Standard Deviation of SST

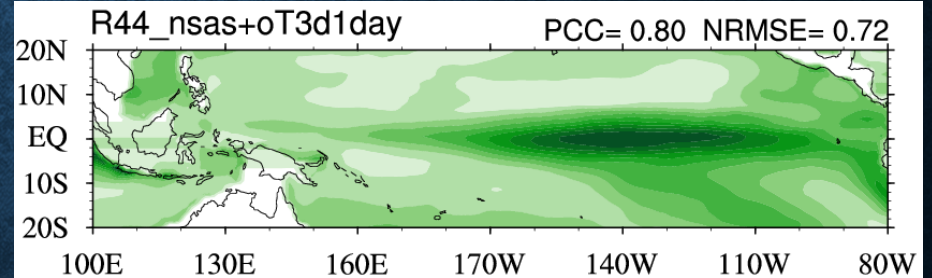
OBS



Control

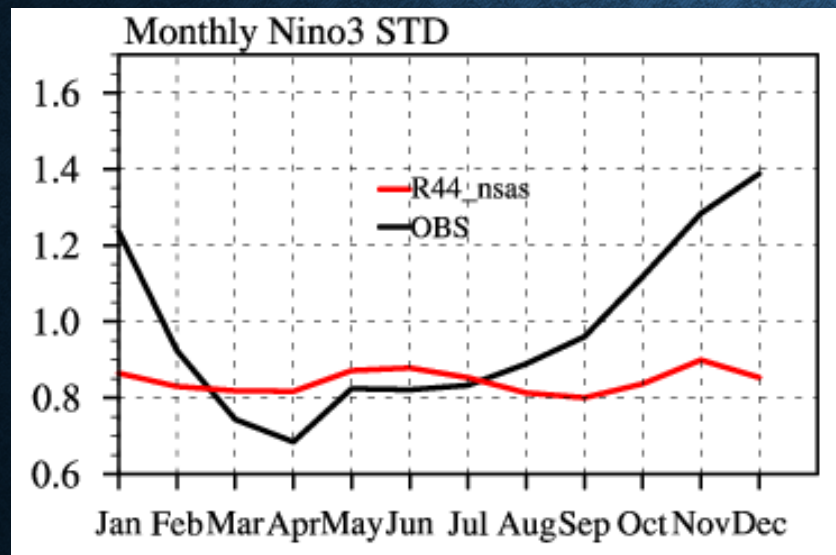


Exp

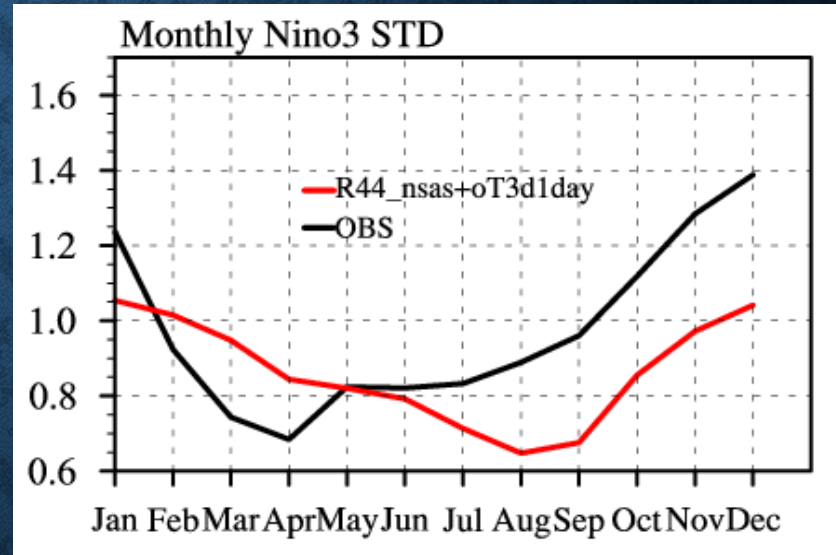


# NINO3 Annual Cycle

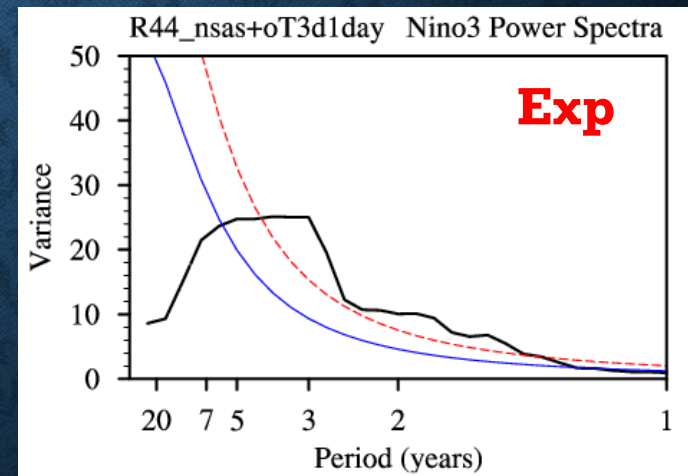
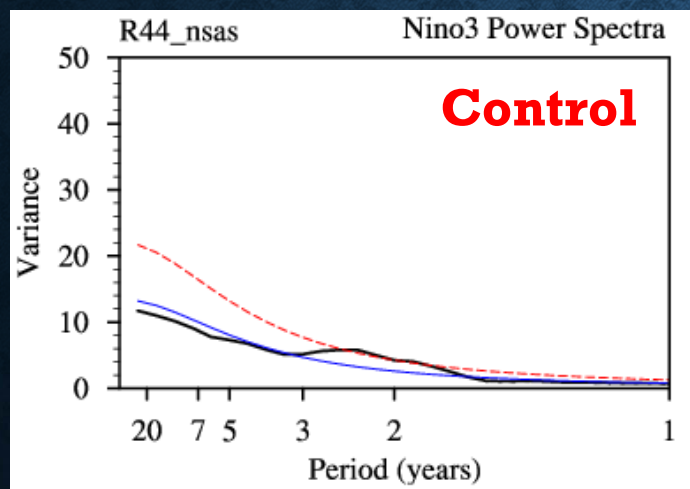
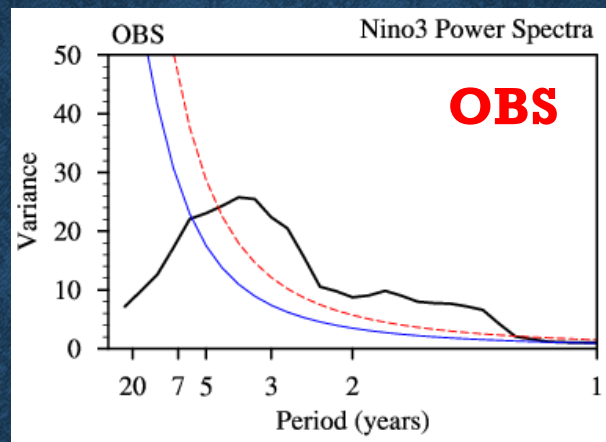
**Control**



**Exp**



# NINO3 Power Spectrum



## AIR-SEA INTERACTION DIAGNOSTIC METHOD CHEN ET AL.(2015)

- 利用海洋資料月平均場包括海溫、ocean currents、upwelling data計算thermodynamic equation每一項.

$$\begin{aligned}\frac{\partial T'}{\partial t} = & -u' \frac{\partial \bar{T}}{\partial x} - \bar{u} \frac{\partial T'}{\partial x} - u' \frac{\partial T'}{\partial x} - w' \frac{\partial \bar{T}}{\partial z} - \bar{w} \frac{\partial T'}{\partial z} - w' \frac{\partial T'}{\partial z} \\ & - v' \frac{\partial \bar{T}}{\partial x} - \bar{v} \frac{\partial T'}{\partial x} - v' \frac{\partial T'}{\partial x} + \frac{Q'}{\rho CpH} + R\end{aligned}$$

- 計算11-1月海面溫度的平均值

SST  $\geq$  0.5 Std  $\Leftrightarrow$  El Nino Cases

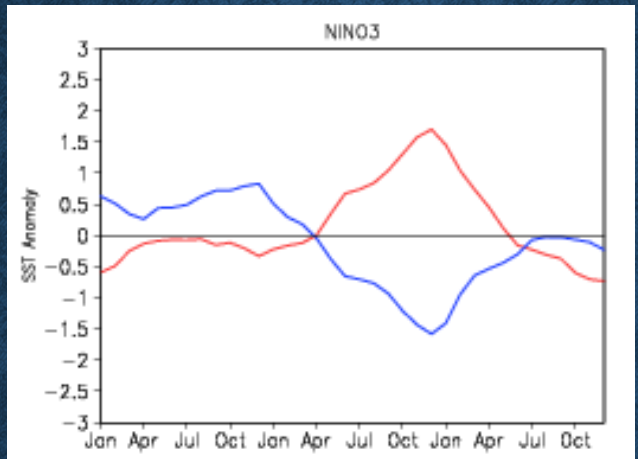
SST  $\leq$  -0.5 std  $\Leftrightarrow$  La Nina Cases

- composite every each term for El Nino and La Nina cases

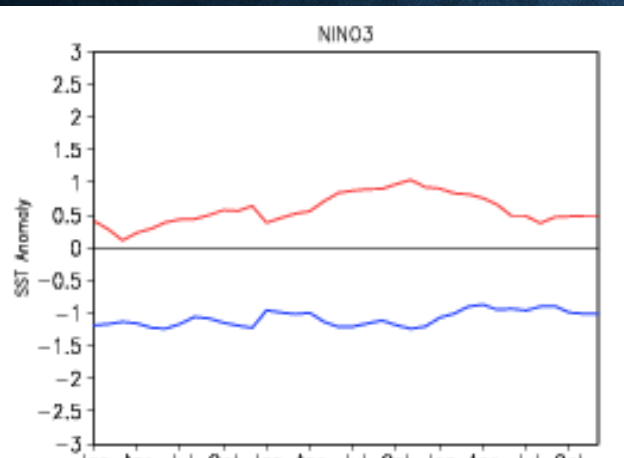
# NINO3 SST Anomaly of Composite El Nino & La Nina cases

**GODAS**

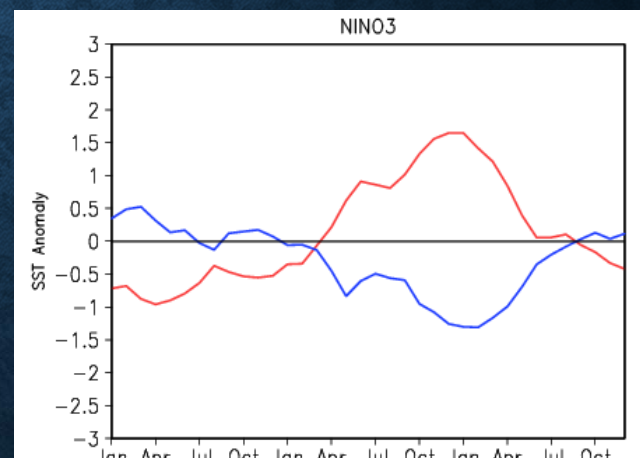
**Control**



**Exp**

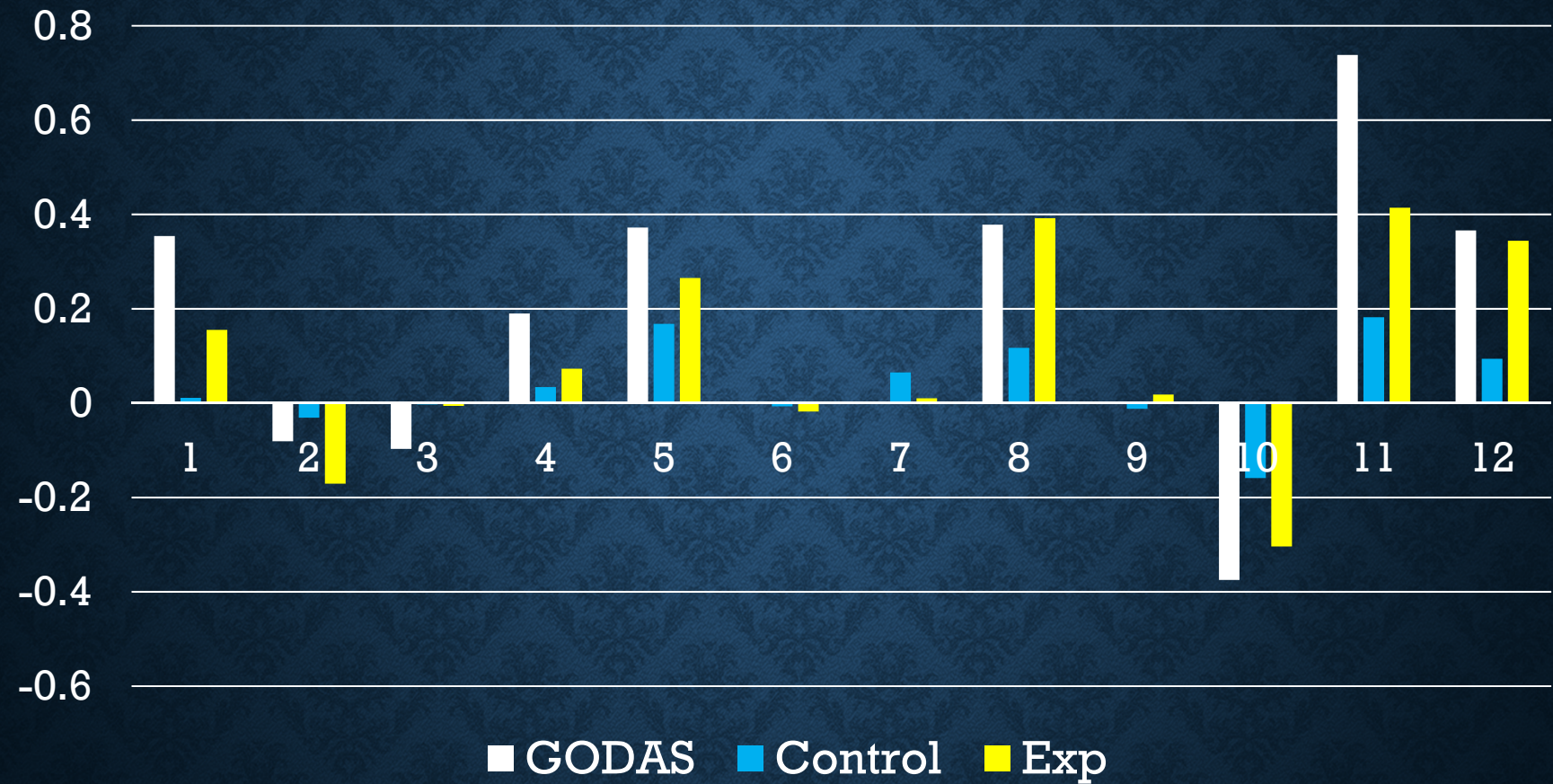


(year-1) (year0) (year+1)



(year-1) (year0) (year+1)

# El Niño - La Niña



$$\frac{\partial \bar{T}'}{\partial t} = -u' \frac{\partial \bar{T}}{\partial x} - \bar{u} \frac{\partial T'}{\partial x} - u' \frac{\partial T'}{\partial x} - w' \frac{\partial \bar{T}}{\partial z} - \bar{w} \frac{\partial T'}{\partial z} - w' \frac{\partial T'}{\partial z} - v' \frac{\partial \bar{T}}{\partial y} - \bar{v} \frac{\partial T'}{\partial y} - v' \frac{\partial T'}{\partial y} + \frac{Q'}{\rho C p H} + R$$

(12) (1) (2) (3) (4) (5) (6) (7) (8) (9) (10) (11)

Mixed layer depth=50m

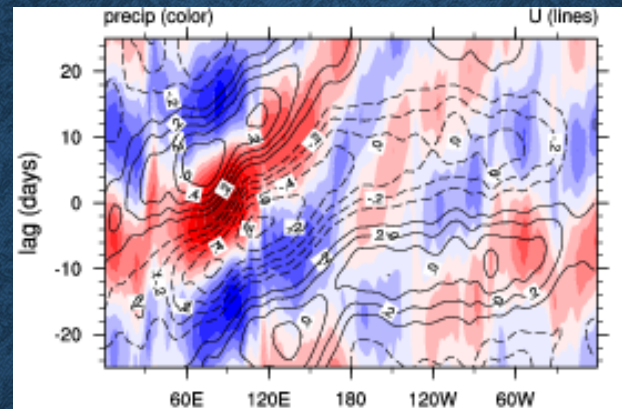
# *MJO*

## *(MADDEN-JULIAN OSCILLATION)*

季內震盪(Madden-Julian Oscillation，簡稱MJO)，主要是熱帶地  
區對流東傳，其週期約為30 至60 天(Madden and Julian, 1972)，  
為影響亞洲與西北太平洋區sub-seasonal 的主要氣候系統。

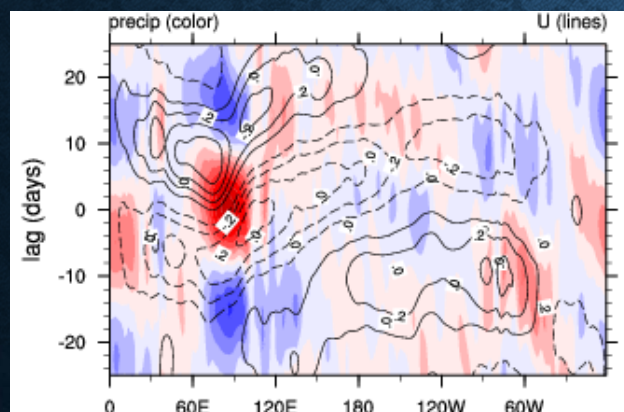
# LAG CORRELATION DIAGRAM FOR WINTER

OBS

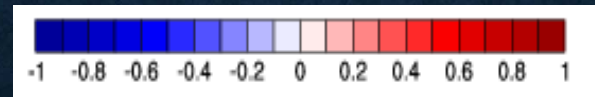
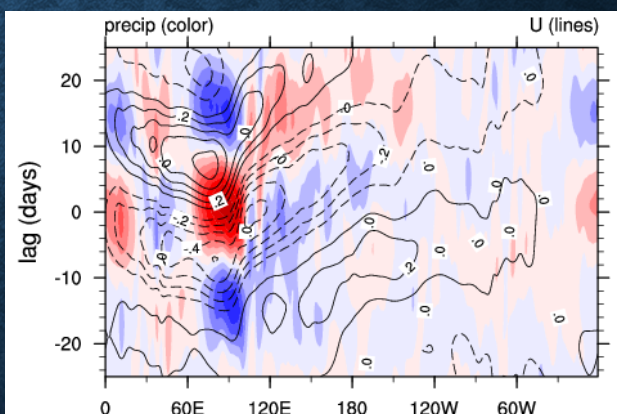


將南北緯10度  
30年冬季平均降水  
與850百帕緯向風場  
經20-100天band pass  
filter 與印度降水計  
算其lag correlation

Control

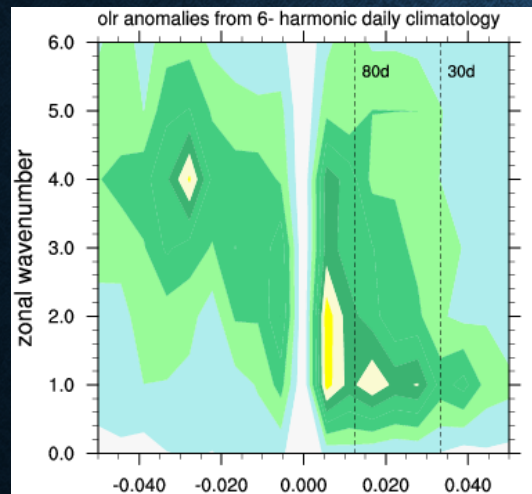


Exp

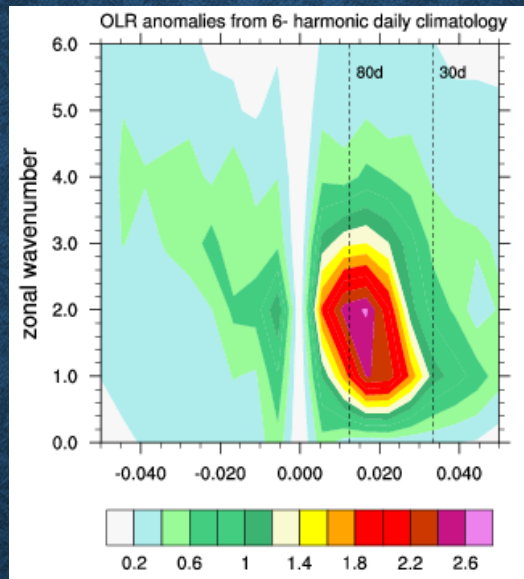


# Wavenumber-Frequency Spectra for Winter

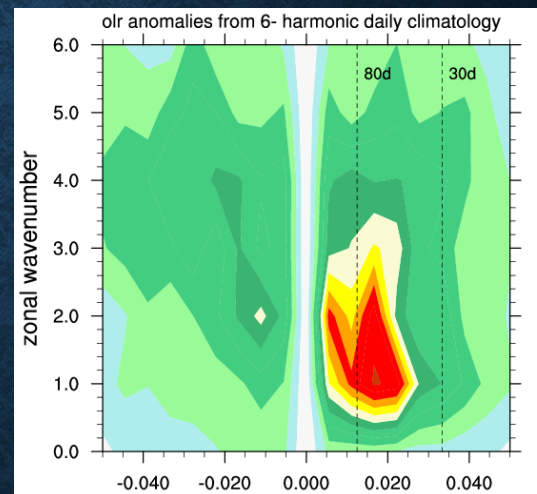
Control



OBS



Exp



南北緯10 度平均之OLR日資料計算其時間空間之波譜圖  
橫軸為頻率，縱軸為波數

# 結論

- 本研究使用一步法海氣耦合模式評估加入heat flux correction修正氣候偏差對模式模擬ENSO及MJO模擬之影響。
- 測試結果顯示海水溫度場加入heat flux correction修正氣候偏差後對ENSO與MJO之預報均有明顯改進。
- 結果顯示氣候值的修正對一步法海氣耦合模式之預報影響甚大，未來需要更積極改進。
- 此種Heat Flux Correction方法可改善模式預報，未來可考慮應用於下一代之氣候模式。